

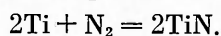
**К ТЕОРИИ РЕАКТОРОВ ГОРЕНИЯ.
МЕТОД ДИНАМИЧЕСКОГО БАЛАНСА**

Г. С. Сухов, Л. П. Ярин
(Ухта)

Один из возможных путей интенсификации современных химико-технологических процессов — перевод их в высокотемпературную область. В случае активированных реакций такой переход сопровождается рядом специфических явлений и в первую очередь образованием волны горения (фронта пламени), обладающей способностью к самостоятельному распространению по веществу. Волны горения возникают при высокотемпературном синтезе тугоплавких соединений [1], в процессах высокотемпературной фронтальной полимеризации [2], при агломерации руд, восстановительном обжиге сульфидов, регенерации зернистых катализаторов, газификации твердых топлив [3] и т. д.

Для непрерывной реализации перечисленных процессов целесообразно использовать трубчатые реакторы и печи шахтного типа, работающие по принципу реактора вытеснения. Однако возможность появления волны горения в потоке реагирующих компонентов требует нового подхода к описанию таких реакторов. Он должен учитывать резкую неоднородность по длине канала вследствие локализации реакции в узкой зоне — фронте пламени — и способность фронта к самостоятельному перемещению по веществу. Очевидно, что состояние в канале реактора определяется в этом случае конкуренцией двух факторов — подачи исходного вещества с заданной скоростью и его превращением в конечный продукт в волне горения, перемещающейся по веществу в обратном направлении со скоростью u_f . Ее величина заранее не известна, но определяется совокупностью физико-химических характеристик среды и режимных условий процесса. При таких обстоятельствах очевидно, что теория, описывающая работу реактора горения, должна базироваться на кинематическом принципе, состоящем в сопоставлении вычисленных по длине канала локальных значений u_f со скоростью подачи активной смеси u_s . Различие этих величин в каждом сечении канала позволяет судить о степени нестационарности процесса и о направлении перемещения фронта пламени в канале. Равенство скоростей определяет местоположение зоны стационарного горения и ее основные характеристики.

Возможности данного метода (назовем его методом динамического баланса) иллюстрируются ниже на частном примере перспективного «фильтрационного реактора» горения [4—6]. Назначение реактора состоит в реализации непрерывного процесса высокотемпературного синтеза в системе газообразный окислитель + твердый пористый реагент с образованием пористого конденсированного продукта, например,



Физическая модель реактора. Реактор — прямая цилиндрическая труба, внутри которой в потоке вещества протекает высокотемпературная экзотермическая реакция, показан на рис. 1. Твердый диспергированный и газообразный реагенты поступают в зону горения через ок-

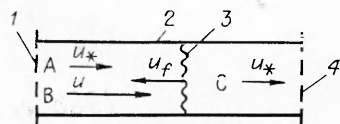


Рис. 1. Физическая модель фильтрационного реактора горения.

1, 4 — входное и выходное сечения; 2 — канал реактора; 3 — фронт пламени; А — твердый реагент; В — газообразный окислитель; С — конденсированный продукт.

лаждаемый вход реактора. Фильтрационное движение газа в канале подчиняется закону Дарси и стимулируется градиентом давления, возникающим вследствие выгорания окислителя на фронте пламени (естественная фильтрация) или за счет действия откачивающего устройства на конце канала (вынужденная фильтрация). В последнем случае окислитель поступает в зону горения в количестве, большем, чем требуется по стехиометрии реакции. Движение твердых фаз (реагента и продукта) может происходить под действием гравитации, перепада давления в канале или иных причин.

Анализ ограничивается учетом лишь основных факторов. Поэтому процессы в реакторе рассматриваются в однетемпературном приближении, при постоянстве теплового эффекта реакции ($c_M + \mu c_V = (1 + \mu)c_P$), коэффициентов переноса, удельной теплоемкости фаз и пористости среды. Предполагается отсутствие утечек теплоты в стенки канала.

Основные уравнения. Для описания возможных стационарных и нестационарных состояний реактора воспользуемся уравнениями тепло- и массопереноса с источниками в системе отсчета, связанной с фронтом горения. В квазистационарном приближении¹ эти уравнения имеют следующий вид:

$$\frac{d(\rho_g u)}{dx} = -\mu W, \quad (1)$$

$$\frac{dp}{dx} = -\frac{(u - u_f)}{k}, \quad (2)$$

$$\rho_{M0} u_f \frac{d\eta}{dx} = W, \quad (3)$$

$$[c_V \rho_g u + (c_M \rho_M + c_P \rho_P) u_f] \frac{dT}{dx} = \lambda \frac{d^2 T}{dx^2} + qW. \quad (4)$$

Дополним систему (1) — (4) уравнением состояния газа

$$mp = \rho_g R_g T, \quad (5)$$

стехиометрическими соотношениями

$$\rho_M = \rho_{M0} (1 - \eta), \quad \rho_P = (1 + \mu) \rho_{M0} \eta, \quad (6)$$

макрокинетическим законом, отражающим специфику твердофазного взаимодействия:

$$W = z f(\eta) p^v \exp(-E/RT), \quad f(\eta) = 1, \quad f(1) = 0, \quad (7)$$

$$0 \leq v \leq 2,$$

и альтернативным условием прекращения горения [7]

$$p_2 (1 - \eta_2) = 0. \quad (8)$$

Здесь x — координата; p — давление; T — температура; ρ — плотность; R — универсальная газовая постоянная; E — энергия активации; $\eta = (\rho_{M0} - \rho_M) / \rho_{M0}$ — полнота выгорания; q — теплота реакции; z, v — кинетические коэффициенты; m — пористость; k — коэффициент фильтрации; c, c_V — теплоемкость и изохорная теплоемкость; индексы: f — пламя, g — газовая фаза, M — твердый реагент, P — продукт, 0, 1, 2 — состояние на входе, перед фронтом и за ним.

¹ Квазистационарность означает отсутствие частных производных по времени в уравнениях переноса. Правомерность такого приближения в задачах нестационарного фильтрационного горения обоснована в [7].

Условие (8) показывает два возможных случая распространения горения, когда фильтрация окислителя не обеспечивает полного сгорания твердого реагента в зоне пламени ($p_2 = 0$; $\eta_2 < 1$ — фильтрационный режим) и когда окислитель в зону горения поступает в избытке ($p_2 > 0$; $\eta_2 = 1$ — кинетический режим).

В общем случае скорость пламени не обязательно равна скорости подачи. Равенство устанавливается лишь в стационарных состояниях, для описания которых систему (1) — (8) следует дополнить кинематическим соотношением

$$u_f = u_* \quad (9)$$

Граничные условия задачи (1) — (8) могут быть различными в зависимости от конструктивных особенностей и назначения реактора. Заданные в виде

$$\begin{aligned} x = -x_f, \quad T = T_0, \quad p = p_0, \quad \eta = 0, \\ x = L - x_f, \quad \frac{dT}{dx} = 0, \quad \rho_g u = g, \end{aligned} \quad (10)$$

они отвечают проточному по окислителю реактору с охлаждаемым входом и отводящим устройством на выходе, нарушающим сплошность движения твердофазных компонентов (здесь L — длина канала). Таким образом, при решении задачи в квазистационарном приближении зависимость процесса от времени носит неявный характер, т. е. проявляется через параметр $x_f(t)$, входящий в граничные условия. Величина его определяется уравнением

$$\frac{dx_f}{dt} = -(u_f - u_*) \quad (10a)$$

с начальным условием, определяющим место инициирования волны в канале

$$t = 0, \quad x_f = x_f(0). \quad (10б)$$

Интегральные соотношения. Решение будем искать в виде квазистационарной волны горения, распространяющейся по веществу со скоростью $u_f(x_f)$. Основываясь на предельной модели горения [8, 9], согласно которой смесь реагентов по мере продвижения в канале последовательно проходит через ряд характерных стадий, приближенно проинтегрируем уравнения (1) — (4) в пределах каждой из них. Найденные интегралы вместе с условиями сопряжения решений на границах выделенных зон определяют профиль скорости горения вдоль канала в виде некоторой функции $u_f/u_* = F(x_f)$. Ее сравнение с линией $u_f/u_* = 1$ позволяет не только определять количество и характер стационарных состояний, но и предсказывать возможное направление развития нестационарности в канале реактора.

При сопоставлении скоростей подачи и горения удобно в качестве масштабной использовать скорость адиабатного пламени $u_{ад}$, априорно определяемую по параметрам начального состояния. В случае $u_{ад} \gg u_*$ волна перемещается против потока и стабилизируется у входа (режим безотрывного горения). Для такого состояния характерно наличие значительных кондуктивных утечек теплоты из зоны реакции к охлаждаемому входу. Это ведет к снижению температуры пламени. При $u_{ад} \ll u_*$ конвективный теплоперенос преобладает над кондуктивным и определяющим становится саморазогрев движущейся активной смеси. При определенных условиях этот процесс завершается самовоспламенением и полным выгоранием одного из реагентов (режим самовоспламенения или индукционный).

Наряду с этими предельными случаями возможен промежуточный, при котором в части канала у входного сечения реализуется индукционный процесс, завершающийся не самовоспламенением, а догоранием смеси на фронте пламени (горение с отрывом пламени). В отличие от безотрывного горения в этом режиме волна в канале распространяется

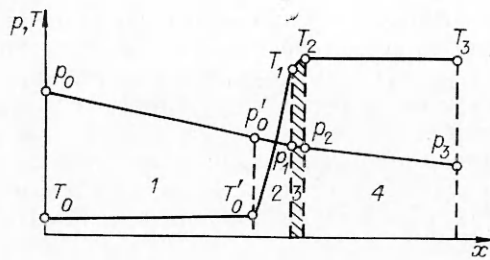


Рис. 2. Структура волны горения в режиме отрыва пламени.

Характерные области: 1 — индукционного разогрева, 2 — прогрева в волне горения, 3 — пламени, 4 — горячего продукта.

по смеси реагентов, предварительно прогретой в индукционной зоне до температуры $T'_0 > T$. Индукционная зона, в пределах которой конвективный теплоперенос является определяющим, служит тепловым изолятором, блокирующим утечки теплоты от пламени к охлаждаемому входу. Здесь температура конечного продукта близка к адиабатической. Очевидно, что горение с отрывом пламени, содержащее в себе элементы перечисленных выше предельных режимов, отвечает общему случаю работы реактора горения (рис. 2).

Учитывая сказанное, определим скорость распространения горения в канале реактора. Используя граничные условия (10), найдем первые интегралы (1) и (4):

$$\rho_g u = g + \mu \rho_{M_0} u_f (\eta_2 - \eta), \quad (11)$$

$$\lambda \frac{dT}{dx} = [c_V g + c_M \rho_{M_0} u_f (1 + \tau \eta_2)] (T - T_2) + q \rho_{M_0} u_f (\eta_2 - \eta). \quad (12)$$

Исключив с помощью (11) скорость фильтрации из формулы Дарси (2), получим уравнение фильтрации

$$\frac{dp^2}{dx} = -2R_g T [g + \mu \rho_{M_0} u_f (\eta_2 - \eta)] / mk. \quad (13)$$

Выражения (3) и (13) упрощаются после перехода к температурной координате

$$\rho_{M_0} u_f \frac{d\eta}{dT} = \frac{z p^\nu (T) \lambda \exp(-E/RT)}{[c_V g + c_M \rho_{M_0} u_f (1 + \tau \eta_2)] (T - T_2) + q \rho_{M_0} u_f (\eta_2 - \eta)}, \quad (14)$$

$$\frac{dp^2}{dt} = -\frac{2\lambda R_g T [g + \mu \rho_{M_0} u_f (\eta_2 - \eta)]}{mk \{ [c_V g + c_M \rho_{M_0} u_f (1 + \tau \eta_2)] (T - T_2) + q \rho_{M_0} u_f (\eta_2 - \eta) \}}. \quad (15)$$

После разделения переменных уравнение (14) может быть приближенно проинтегрировано с применением стандартных асимптотических приемов теории горения [10]. При интегрировании функция $p(T)$ аппроксимируется линейной зависимостью $p^2(T) = p_2^2 + \left(\frac{\partial p^2}{\partial T}\right) (T - T_2)$ [7], в которой коэффициент аппроксимации определяется уравнением (15). Интеграл (14) определяет скорость распространения горения в виде функции безразмерных переменных

$$\left(\frac{u_2}{u_*}\right)^2 = \frac{2\gamma \text{Da} (1 + \beta \Theta_2)^2 \exp[\Pi \pi^2 + \Theta_2 / (1 + \beta \Theta_2)]}{\text{Pe} \Pi^{\nu/2} (\eta_2 - \eta'_0)^2} \Gamma(1 + \nu/2; \Pi \pi^2). \quad (16)$$

Здесь $\Theta = E(T - T_0)/RT_0^2$; $\pi = p/p_0$; $\beta = RT_0/E$; $\gamma = c_M T_0^2 g E$; $\Pi = mk p_0^2 \rho_{M_0} u_f \eta_2 / 2\lambda R_g RT_0^3 (g + \mu \rho_{M_0} u_f \eta_2)$; $\text{Da} = z p^\nu L \exp(-E/RT_0) / \rho_{M_0} u_f$ — число Дамкеллера; $\text{Pe} = \rho_{M_0} u_f c_M L / x$ — число Пекле; $\Gamma = \int_0^\infty t^{\nu/2} \exp(-t) dt$ — неполная гамма-функция.

Уравнение (16) является основным при исследовании фильтрационного реактора. Оно содержит ряд заранее неизвестных параметров π_2 , Θ_2 , η'_0 , η_2 , величина которых определяется интегралами (4) и (13),

полученными при некоторых упрощающих предположениях (отсутствие кондуктивного переноса в зоне индукции, пренебрежимо малое фильтрационное сопротивление волны горения и др. [5]):

$$\pi_2^2 = 1 - (u_f \eta_2 / u_* N) (1 + G u_* / u_f \eta_2) \xi_s, \quad (17)$$

$$\eta_0' = \gamma [\tau G + (1 + \tau \eta_2) u_f / u_*] \Theta_0', \quad (18)$$

$$\Theta_0' = - \ln \left\{ 1 - \frac{2N \text{Da} (1 - \pi_2^{2+\nu})}{\gamma (2 + \nu) (G + \eta_2 u_f / u_*) [\tau G + (1 + \tau \eta_2) u_f / u_*]} \right\}, \quad (19)$$

$$\Theta_2 = \Theta_{\text{ад}} = (\eta_2 u_f / u_*) \gamma [\tau G + (1 + \tau \eta_2) u_f / u_*]. \quad (20)$$

Здесь $\xi = x/L$; $\tau = mc_v / c_m$; $G = g / \mu \rho_{M0} u_f$; $N = mkp_0^2 / 2\mu \rho_M u_f p_0 T_0 L$ — параметр фильтрации; индекс s соответствует условиям отрыва пламени.

Систему интегралов (16)–(20) следует дополнить соотношениями для определения расстояния от фронта пламени до входа в канал

$$\xi_f = \xi_s + \xi_h \quad (21)$$

и для вычисления протяженности зоны прогрева ξ_h , которая находится из температурного профиля в волне горения

$$T = T_0 + (T_{\text{ад}} - T_0) \exp \left\{ [c_v g + c_m \rho_{M0} u_f (1 + \tau \eta_2)] \frac{x}{\lambda} \right\}$$

как расстояние от фронта пламени до сечения, где разность $T - T_0$ на два порядка ниже $T_{\text{ад}} - T_0$, т. е.

$$\xi_h = 4,6 / \text{Pe} \left[\tau G + (1 + \tau \eta_2) \frac{u_f}{u_*} \right]. \quad (22)$$

Среди полученных соотношений уравнение (17) имеет принципиальное значение, так как совместно с (8) определяет области существования кинетического и фильтрационного режимов горения. Анализ этих соотношений показывает, что процесс в канале завершается полным превращением твердого реагента, если

$$\xi_s < N \frac{u_*}{u_f}, \quad \pi_2^2 = 1 - \xi_s \frac{u_f}{u_*} N, \quad \eta_2 = 1, \quad (23)$$

для фильтрационного режима

$$Nu_* / u_f < \xi_s \leq 1, \quad \pi_2 = 0, \quad \eta_2 = N \xi_s u_* / u_f < 1. \quad (24)$$

Смена режимов наступает при

$$\xi_s = \xi^0 = Nu_* / u_f, \quad \pi_2 = 0, \quad \eta_2 = 1. \quad (25)$$

Для стационарных состояний $\xi^0 = N$. Если смена режимов происходит на выходе реактора, то $\xi^0 = N = 1$. Очевидно, что улучшение условий фильтрации окислителя ($N > 1$) обеспечивает сохранение в реакторе кинетического режима горения («короткий» канал), а возрастание фильтрационного сопротивления ($N < 1$) сопровождается появлением недожога твердого реагента («длинный» канал).

Соотношения (16)–(24) (уравнения группы I) позволяют в квазистационарном приближении рассчитать спектр локальных значений скорости распространения горения вдоль канала в виде функции $u_f / u_* = F(\xi_f)$. Соотношения группы I пригодны только для расчетов скорости отрывного пламени, когда между фронтом горения и входом в канал существует зона индукции. При безотрывном горении зона индукции отсутствует, и процесс протекает в условиях интенсивного теплоотвода к охлаждаемому входу и при значительном снижении температуры пламени. Для ее расчета вместо (20) используется формула

$$\Theta_2 = \Theta_{\text{ад}} \left\{ 1 - \exp \left(- \left[\tau G + (1 + \tau \eta_2) \frac{u_f}{u_*} \right] \text{Pe} \xi_f \right) \right\}, \quad (26)$$

полученная интегрированием уравнения энергии по зоне прогрева с учетом оттока теплоты на вход реактора.

При безотрывном горении индукционный нагрев смеси отсутствует ($\xi_s = 0$), поэтому, согласно (21), положение фронта пламени в канале определяется соотношением

$$\xi_f = \xi_h. \quad (27)$$

Причем величина ξ_h не может быть рассчитана по формуле (22), пригодной только для адиабатного пламени. Из (8) и (17) следует, что при данном режиме горения $\eta_2 = \pi_2 = 1$.

Выражения (16), (26) и (27) при $\eta_2 = \pi_2 = 1$, образующие группу уравнений II, позволяют рассчитать функцию $u_f/u_* = F(\xi_f)$ в непосредственной близости от входного сечения канала реактора.

Таким образом, полученные соотношения дают возможность вычислять локальные значения скорости распространения горения в любом сечении канала реактора и построить кривую распределения этих скоростей в координатах u_f/u_* , ξ_f . Согласно (16), распределение скоростей определяется кинетикой горения, поэтому в дальнейшем функциональную зависимость $u_f/u_* = F(\xi_f)$ будем называть кинетической кривой. Ее построение выполняется по следующим правилам:

1) задавая $\xi_s = 1 \div 0$, по соотношениям группы I вычисляются ξ_f и участок кинетической кривой, отвечающий горению с отрывом пламени;

2) вблизи входного сечения, где $\xi_s = 0$, расчет ведется по соотношениям группы II. Величина ξ_h задается возрастающей от $\xi_h = 0$. «Сшивка» (пересечение) участков кинетической кривой происходит в окрестности сечения $\xi_s = 0$. Найденная зависимость $\xi_s = 0$ дает возможность довести задачу до конца, определив нестационарные характеристики процесса. Действительно, при известной $u_f/u_*(\xi_f)$ и начальном условии (10б) закон перемещения волны горения в канале $\xi_f(\bar{t})$ определяется интегралом уравнения (10а)

$$\bar{t} = \int_{\xi_f(0)}^{\xi_f} \frac{d\xi}{1 - u_f/u_*}, \quad \bar{t} = tu_*/L.$$

Так как все параметры задачи уже определены в виде функций от ξ_f , то полученный интеграл определяет их изменение во времени.

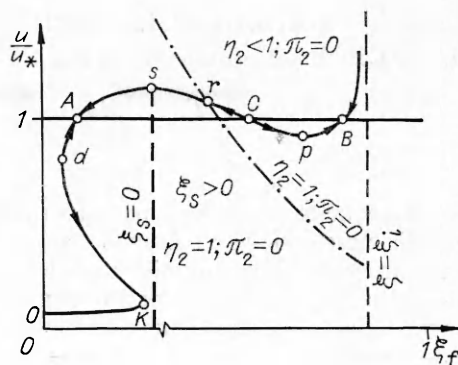
Однако принципиальное значение имеет все же промежуточный результат — кинетическая кривая, получив которую, как будет показано ниже, можно исследовать весь комплекс свойств реактора горения в стационарном и нестационарном режимах.

В общем случае кинетическая кривая имеет сложную Ω -образную форму (рис. 3) и пересекается с линией стационарных состояний $u_f/u_* = 1$ в трех точках, отвечающих безотрывному горению (A) и с отрывом пламени (B и C). Отсутствие высокотемпературных решений при $\xi_s \ll 1$ (ветвь ОК на кинетической кривой соответствует низкотемпературному окислению) свидетельствует о тепловом срыве пламени вблизи охлаждаемого входа в канал реактора.

Различным положениям волны горения в канале отвечают различные скорости ее распространения. Изменения скорости происходят под действием нескольких факторов. С одной стороны, по мере удаления волны горения от входа повышается температура индукционного разогрева среды T'_0 . Одновременно растет протяженность зоны фильтрации перед волной и снижается давление p_2 на ее фронте. При значительном удалении волны в глубь канала возможен переход к фильтрационному режиму горения ($p_2 = 0$, $\eta_2 < 1$), сопровождающемуся снижением конечной температуры T_2 из-за недожога твердого реагента. Индукционный разогрев смеси, согласно (16) и (18), ускоряет волну горения, а рост фильтрационного сопротивления индукционной зоны и снижение конечной температуры, напротив, замедляют ее. Соответственно этому

Рис. 3. Общий вид кинетической кривой.

Штрихпунктирная линия — граница перехода от кинетического к фильтрационному режиму. Стрелки обозначают направление движения волны горения в канале.



поведение кинетической кривой на различных ее участках отражает преобладающее влияние одного из перечисленных выше факторов. Например, убывание скорости горения на участке Sr вызвано падением давления окислителя на фронте пламени, а на участке rp — снижением конечной температуры вследствие недожога. Вблизи сечения $\xi = \xi_i$, где возможно самовоспламенение смеси, процесс саморазогрева в индукционной зоне интенсифицируется (резко возрастает T'_0), убывание скорости пламени сменяется ее ростом.

Адиабатическая длина индукции воспламенения ξ_i определяется интегрированием уравнения энергии (4) в приближении $E/RT_0 \gg 1$, $\lambda = 0$:

$$\xi_i = \frac{N}{G + \eta_2} \left\{ 1 - \left[1 - \frac{(2 + \nu)(G + \eta_2)\eta_2 [1 - \exp(-\Theta_{ад})]}{2N Da \Theta_{ад}} \right]^{\frac{2}{2+\nu}} \right\}. \quad (28)$$

В процессе эволюции кинетической кривой при вариации критериев Re и Da изменяются и стационарные состояния. При этом возможны предельные случаи, когда фронт пламени располагается на выходе из канала ($\xi_s = 1$), на границе зон полного выгорания и недожога ($\xi_s = N$) или в сечении, отвечающем переходу от безотрывного горения к горению с отрывом пламени ($\xi_s = 0$). Этим состояниям соответствуют функциональные зависимости вида $Re = \varphi(Da)$, определяемые системой уравнения группы I при $u_j/u_* = 1$ и перечисленных значениях ξ_s . Эти зависимости составляют основу классификации стационарных режимов реактора в плоскости $Re - Da$, разделяя ее на области с различным характером протекания процессов.

ЛИТЕРАТУРА

1. Мержанов А. Г. Успехи химии, 1976, 65, 5, 327.
2. Чечило Н. М., Хвиливицкий Р. Я., Еннколюпан Н. С. Докл. АН СССР, 1972, 204, 5, 1180.
3. Канторович Б. В. Основы теории горения и газификации твердого топлива.— М.: Изд-во АН СССР, 1958.
4. Сухов Г. С., Ярин Л. П. Докл. АН СССР, 1978, 243, 6, 1442.
5. Столярова Н. Н., Сухов Г. С., Ярин Л. П. ФГВ, 1981, 17, 6, 68.
6. Гужнев А. В., Солдаткина Н. Н., Сухов Г. С. ФГВ, 1986, 23, 2, 83.
7. Алдушин А. П., Мержанов А. Г., Хайкин Б. И. Докл. АН СССР, 1974, 215, 3, 612.
8. Хайкин Б. И., Румянов Э. Н. ФГВ, 1975, 11, 5, 671.
9. Бутаков А. А., Максимов Э. Н., Шкадинский К. Г. ФГВ, 1978, 14, 1, 62.
10. Зельдович Я. Б., Баренблатт Г. И., Либрович В. Б. и др. Математическая теория горения и взрыва.— М.: Наука, 1980.

Поступила в редакцию 5/IV 1986,
после доработки — 27/XI 1986